

# Вырожденная плазма в полупространстве во внешнем электрическом поле вблизи резонанса

© А.В. Латышев, А.А. Юшканов

Московский государственный областной университет,  
105005 Москва, Россия

E-mail: yushkanov@mtu-net.ru

(Поступила в Редакцию в окончательном виде 27 марта 2006 г.)

Изучается поведение электрического поля вблизи поверхности в полупространстве, заполненном вырожденным электронным газом, во внешнем переменном электрическом поле. Исследован случай, когда частота внешнего поля близка к частоте плазменных колебаний (резонанс). Выясняются особенности поведения экранированного поля при диффузном отражении электронов от границы. Показано существование двух слоев, примыкающих к поверхности, в которых поведение экранированного поля существенно различается.

Один из авторов (А.В.Л.) благодарит за частичную финансовую поддержку Российский фонд фундаментальных исследований (грант № 03-01-00281).

PACS:52.35.-g, 52.20.-j, 52.25.-b

## 1. Введение

Задача о поведении электронной плазмы в полупространстве во внешнем поперечном (перпендикулярно поверхности) электрическом поле при зеркальном отражении электронов от границы для бесстолкновительного случая впервые аналитически решена Ландау [1]. С диффузным граничным условием задача была рассмотрена в работе [2] методом интегральных преобразований. В работе [3] был проведен общий асимптотический анализ поведения электрического поля на большом расстоянии от поверхности. В этой работе указывалось на особое значение анализа поведения поля вблизи плазменного резонанса. При этом в работе [3] утверждалось, что поведение поля для случаев зеркального и диффузного рассеяния электронов на поверхности существенно различается.

Целью настоящей работы является анализ поведения электрического поля в металле в случае, когда частота внешнего поля близка к плазменной частоте, а также анализ поведения поля во всем объеме металла, включая слой, непосредственно примыкающий к поверхности.

Наш анализ базируется на результатах работ [4,5], где рассматривались общие вопросы разрешимости данной задачи и исследована структура дискретного спектра в зависимости от параметров задачи. Детальный анализ решения в общем случае в указанных работах не проводился ввиду сложного характера этого решения. Однако в рассматриваемом случае, когда частота колебаний  $\omega$  внешнего электрического поля  $E_0 \exp(-i\omega t)$  близка к частоте  $\omega_p$  плазменных колебаний, проведение такого анализа оказывается возможным. В этом случае квадрат модуля нуля дисперсионной функции задачи много больше единицы. С использованием этого обстоятельства решение задачи приведено к виду, допускающему непосредственное исследование. Такое исследование и проведено в настоящей работе.

В [3] отмечалось, что условие квазиклассичности, необходимое при использовании кинетического уравнения, выполняется для случая вырожденных полупроводников.

Будем считать поле достаточно слабым, чтобы было применимо линейное приближение [1]. При этом функцию распределения электронов можно искать в виде

$$f = f_0 - \psi \frac{\partial}{\partial \varepsilon} f_0 \exp(-i\omega t).$$

Здесь  $f_0$  — функция распределения Ферми,  $\varepsilon$  — кинетическая энергия электронов (поверхность Ферми считается сферической). Температуру будем считать низкой, так чтобы

$$\frac{\partial f_0}{\partial \varepsilon} = -\delta(\varepsilon - \varepsilon_F),$$

где  $\varepsilon_F$  — энергия Ферми,  $\delta(x)$  — дельта-функция Дирака. С учетом одномерности задачи функция распределения электронов  $\psi(x, \mathbf{v})$  удовлетворяет уравнению

$$-i\omega\psi + v_x \frac{\partial}{\partial x} \psi = e_0 v_x E - \nu(\psi - g\bar{\psi}).$$

Здесь  $\bar{\psi}$  — избыточная плотность электронов,

$$\bar{\psi} = 2 \int (2p\hbar)^{-3} (f - f_0) d^3 p,$$

$\nu$  — частота столкновений электронов,  $e_0$  — заряд электрона,  $v_x$  — проекция скорости электронов на ось  $x$ , перпендикулярную поверхности,  $\mathbf{p}$  — импульс электронов,  $d^3 p = dp_x dp_y dp_z$ ,  $g = \pi^2 \hbar^3 / (2\varepsilon_F)$ .

Электрическое поле в металле  $E(x)$  удовлетворяет уравнению

$$E'(x) = 4\pi e_0 \bar{\psi}(x, \mathbf{v}).$$

Поскольку  $v_x = v_F \cos \theta$ , удобно ввести переменную  $\mu = \cos \theta$ , изменяющуюся от  $-1$  до  $+1$ . Кроме того, введем следующие безразмерную переменную и параметры:

$$x' = \frac{xv}{v_F}, \quad y_0 = \frac{\omega}{v}, \quad k_0^2 = 3 \left( \frac{\omega_p}{v} \right)^2,$$

где  $\omega_p$  — плазменная частота.

Известно, что частота плазменных колебаний, как правило, много больше частоты столкновений электронов в металле [6]. Поэтому в случае  $\omega \sim \omega_p$  выполняются условия  $y_0 \gg 1$ ,  $k_0 \gg 1$ .

Введем вместо  $E(x)$  поле  $e(x) = E(x)/E_0$ , вместо  $\psi(x, \mathbf{v})$  — функцию  $\varphi = v\psi/(e_0 E_0 v_F)$ , а вместо  $x'$  будем писать снова  $x$ .

Тогда получим систему уравнений, описывающих данную задачу,

$$\mu \frac{\partial}{\partial x} \varphi + z_0 \varphi(x, \mu) = \mu e(x) + \frac{1}{2} \int_{-1}^1 \varphi(x, \mu') d\mu',$$

$$z_0 = 1 - iy_0, \quad (1)$$

$$e'(x) = \frac{k_0^2}{2} \int_{-1}^1 \varphi(x, \mu') d\mu'. \quad (2)$$

Рассмотрим случай диффузного отражения электронов от границы полупространства. Тогда для функции распределения имеем следующие граничные условия:

$$\varphi(0, \mu) = A, \quad 0 < \mu < 1, \quad (3)$$

$$\int_{-1}^1 \mu \varphi(0, \mu) d\mu = 0. \quad (4)$$

Условие (4) есть условие непротекания электронов через границу. Граничное условие для поля имеет вид

$$e(0) = 1. \quad (5)$$

Подчеркнем, что константа  $A$  неизвестна. Она определяется условием непротекания электронов через границу (4).

## 2. Собственные функции и собственные значения

Разделим переменные в уравнениях (1) и (2):

$$\varphi_\eta(x, \mu) = \exp\left(-z_0 \frac{x}{\eta}\right) \Phi(\eta, \mu),$$

$$e_\eta(x) = \exp\left(-z_0 \frac{x}{\eta}\right) E(\eta). \quad (6)$$

Тогда получаем характеристическую систему уравнений

$$(\eta - \mu) \Phi(\eta, \mu) = \frac{1}{z_0} \eta \mu E(\eta) + \frac{1}{z_0} \eta n(\eta),$$

$$E(\eta) = -\frac{k_0^2}{z_0} \eta n(\eta), \quad n(\eta) = \frac{1}{2} \int_{-1}^1 \Phi(\eta, \mu) d\mu.$$

В силу однородности системы (1), (2) без ограничения общности будем считать, что

$$\eta n(\eta) \equiv 1. \quad (7)$$

С помощью введенных обозначений и условия (7) перепишем характеристическую систему в виде

$$(\eta - \mu) \Phi(\eta, \mu) = \frac{1}{z_0^2} (z_0 - k_0^2 \mu \eta), \quad E(\eta) = -\frac{k_0^2}{z_0}. \quad (8)$$

Пусть  $\eta \in (-1, +1)$ . Тогда из первого выражения (8) и уравнения (7) в пространстве обобщенных функций [7] найдем собственные функции характеристической системы

$$\Phi(\eta, \mu) = \frac{1}{z_0^2} (z_0 - k_0^2 \mu \eta) P \frac{1}{\eta - \mu} + 2 \frac{\lambda(\eta)}{\eta} \delta(\eta - \mu). \quad (9)$$

Здесь  $\lambda(z)$  — дисперсионная функция задачи,

$$\lambda(z) = 1 + \frac{z}{2z_0^2} \int_{-1}^1 \frac{z_0 - k_0^2 z \mu}{\mu - z} d\mu$$

$$= -i \frac{y_0}{z_0} + \frac{1}{z_0^2} (z_0 - k_0^2 z^2) \lambda_0(z), \quad (10)$$

где

$$\lambda_0(z) = 1 + \frac{z}{2} \int_{-1}^1 \frac{d\tau}{\tau - z} -$$

дисперсионная функция Кейза [8],  $Px^{-1}$  — символ главного значения интеграла от  $x^{-1}$ .

Учитывая граничное условие (5), далее будем рассматривать лишь убывающие (по переменной  $x$ ;  $x > 0$ ) решения исходной системы. Согласно (6), убывающими решения являются при  $\eta > 0$ , а так как решение характеристического уравнения в обобщенных функциях возможно только при  $|\eta| < 1$ , интервал  $0 < \eta < 1$  является непрерывным спектром граничной задачи.

Функции (9) называются собственными функциями непрерывного спектра. Собственные решения исходной задачи даются равенствами (6) с учетом (9).

По определению, дискретным спектром характеристического уравнения является множество нулей дисперсионного уравнения  $g(z) \equiv \lambda(z)/z = 0$ .

Отсюда видно, что дисперсионное уравнение в качестве нуля имеет бесконечно удаленную точку  $\eta_i = \infty$ , которой отвечают собственные функции дискретного спектра

$$\Phi(\eta_i, \mu) = -\frac{k_0^2}{z_0^2} \mu, \quad E(\eta_i) = -\frac{k_0^2}{z_0}.$$

Этим собственным функциям отвечают совпадающие с ними дискретные собственные решения исходной системы

$$\varphi_\infty(x, \mu) = -\frac{k_0^2}{z_0^2} \mu, \quad e_\infty(x) = -\frac{k_0^2}{z_0}.$$

В работе [5] показано, что дисперсионная функция имеет еще два конечных комплексных нуля  $\pm\eta_0$ ,  $\text{Re } \eta_0 > 0$ , различающихся лишь знаками. Нулю  $\eta_0$  отвечают собственные решения исходной системы

$$\varphi_{\eta_0}(x, \mu) = \frac{z_0 - k_0^2 \mu \eta_0}{z_0^2 (\eta_0 - \mu)} \exp\left(-z_0 \frac{x}{\eta_0}\right),$$

$$e_{\eta_0}(x) = -\frac{k_0^2}{z_0} \exp\left(-z_0 \frac{x}{\eta_0}\right).$$

### 3. Функция распределения электронов и электрическое поле

В работе [5] доказано, что решение задачи (1)–(5) дается разложениями по собственным функциям соответствующей характеристической системы

$$\varphi(x, \mu) = -\frac{k_0^2}{z_0^2} A_\infty \mu + \frac{z_0 - k_0^2 \mu \eta_0}{z_0^2 (\eta_0 - \mu)} \exp\left(-z_0 \frac{x}{\eta_0}\right) A_0 + \int_0^1 \exp\left(-z_0 \frac{x}{\eta}\right) \Phi(\eta, \mu) A(\eta) d\eta, \quad (11)$$

$$e(x) = -\frac{k_0^2}{z_0} \left[ A_\infty + A_0 \exp\left(-z_0 \frac{x}{\eta_0}\right) + \int_0^1 \exp\left(-z_0 \frac{x}{\eta}\right) A(\eta) d\eta \right]. \quad (12)$$

В разложениях (11) и (12)  $A_0$  и  $A_\infty$  — коэффициенты дискретного спектра (амплитуды Дебая и Друде),  $A(\eta)$  — коэффициент непрерывного спектра. Эти коэффициенты вычисляются по формулам

$$A_\infty = \frac{iy_0}{k_0^2 \lambda_\infty}, \quad \lambda_\infty = \lambda(\infty),$$

$$A_0 = \frac{iy_0 D}{\lambda_\infty (z_0 - k_0^2 \eta_0^2) X(\eta_0)}, \quad (13)$$

$$A(\eta) = \frac{z_0^2}{2\pi i (z_0 - k_0^2 \eta^2)} \left[ c_0 + \frac{c_{-1}}{\eta - \eta_0} \right] \left[ \frac{1}{X^+(\eta)} - \frac{1}{X^-(\eta)} \right], \quad (14)$$

$$D = \frac{2\eta_1 + (\eta_0^2 - \eta_1^2)\alpha^-}{\eta_0 \alpha^- - \eta_1 \alpha^+}, \quad \alpha^\pm = X(\eta_1) - X(-\eta_1), \quad (15)$$

$$c_{-1} = c_0 D, \quad c_0 = -\frac{k_0^2}{z_0^2} A_\infty, \quad \eta_1 = \frac{\sqrt{z_0}}{k_0}. \quad (16)$$

Выражение для постоянной  $A$  приведено в [5], здесь оно не используется. В выражения (14)–(16) входит функция  $X(z)$

$$X(z) = \frac{1}{z} \exp V(z),$$

$$V(z) = \frac{1}{2\pi i} \int_0^1 \frac{\ln(\lambda^+(z)/\lambda^-(\tau)) - 2\pi i}{\tau - z} d\tau.$$

Здесь  $\lambda^\pm(\mu)$  — граничные значения дисперсионной функции сверху и снизу в точках интервала  $(-1, +1)$  [9],

$$\lambda^\pm(\mu) = \lambda(\mu) \pm i \frac{\pi}{2z_0^2} \mu (z_0 - k_0^2 \mu^2),$$

где

$$\lambda(\mu) = -i \frac{y_0}{z_0} + \frac{z_0 - k_0^2 \mu^2}{z_0^2} \left( 1 + \frac{\mu}{2} \ln \frac{1-\mu}{1+\mu} \right).$$

Условие непротекания (4) приводит к равенству

$$-\frac{k_0^2}{3z_0} A_\infty - iy_0 A_0 - iy_0 \int_0^1 A(\eta) d\eta = 0.$$

Выражение для электрического поля (12) представим в виде  $e(x) = e_d(x) + e_c(x)$ , где одна часть поля  $e_d(x)$  отвечает дискретному спектру, а вторая часть  $e_c(x)$  — непрерывному:

$$e_d(x) = -\frac{k_0^2}{z_0} \left[ A_\infty + A_0 \exp\left(-z_0 \frac{x}{\eta_0}\right) \right],$$

$$e_c(x) = -\frac{k_0^2}{z_0} \int_0^1 \exp\left(-z_0 \frac{x}{\eta}\right) A(\eta) d\eta.$$

Таким образом, согласно (12), (13) и (15), дискретная часть поля равна

$$e_d(x) = \frac{-iy_0}{z_0 \lambda_\infty} \left[ 1 + \frac{k_0^2 D}{(z_0 - k_0^2 \eta_0^2) X(\eta_0)} \exp\left(-z_0 \frac{x}{\eta_0}\right) \right]. \quad (17)$$

Рассмотрим часть электрического поля, отвечающую непрерывному спектру. Из формул (12)–(16) находим, что

$$e_c(x) = \frac{iy_0 k_0^2}{2z_0^3 \lambda_\infty} \int_0^1 \exp\left(-z_0 \frac{x}{\eta} - V(\eta)\right) \times \left( 1 + \frac{D}{\eta - \eta_0} \right) \frac{\eta^2 d\eta}{\sqrt{\lambda^+(\eta)\lambda^-(\eta)}}. \quad (18)$$

### 4. Асимптотический анализ решения

В общем случае анализ решения по формулам (11)–(16) провести затруднительно. Однако вблизи резонанса такой анализ провести можно. В основе проводимого далее анализа лежит идея отыскать в явном виде нуль  $\eta_0$  дисперсионной функции. При  $\omega \rightarrow \omega_p$  и  $\varepsilon \rightarrow 0$  оказывается, что  $\eta_0(\gamma, \varepsilon) \rightarrow \infty$ . В самом деле, воспользуемся разложением при  $|\eta_0| > 1$  дисперсионной функции

$$\lambda(\eta_0) = \lambda_\infty + \frac{\lambda_2}{\eta_0^2} + \frac{\lambda_4}{\eta_0^4} + \dots,$$

$$\lambda_2 = \frac{3k_0^2 - 5z_0}{3 \cdot 5z_0^2}, \quad \lambda_4 = \frac{5k_0^2 - 7z_0}{5 \cdot 7z_0^2}, \dots$$

Отбрасывая в этом разложении члены начиная со степени  $\eta_0^{-4}$ , из уравнения  $\lambda(\eta_0) = 0$  находим

$$\eta_0^2 = \frac{5z_0 - 3k_0^2}{-15iy_0z_0 + 5k_0^2}.$$

Отметим, что при замене  $\lambda(\eta_0)$  суммой первых двух членов величина ошибки менее чем  $\Delta_{\eta_0} = 0.5 \cdot |\eta_0|^{-4}$ ; так что уже при  $|\eta_0| = 5$  имеем  $\Delta_{\eta_0} = 0.0008$ .

Введем два малых параметра

$$\varepsilon = \frac{\nu}{\omega_p}, \quad 0 < \varepsilon \ll 1, \quad \gamma = \frac{\omega - \omega_p}{\omega_p}, \quad |\gamma| \ll 1.$$

Очевидно, что

$$k_0^2 = \frac{3}{\varepsilon^2}, \quad \frac{\omega}{\omega_p} = 1 + \gamma, \quad y_0 = \frac{\omega}{\nu} = \frac{\omega}{\omega_p} = \frac{1 + \gamma}{\varepsilon}.$$

Представим основные параметры решения  $\eta_0$ ,  $\eta_1$  и  $z_0$  как функции двух малых параметров  $\varepsilon$  и  $\gamma$ . Нетрудно видеть, что

$$\eta_0 = \sqrt{\frac{9 + 15i\varepsilon(1 + \gamma + i\varepsilon)}{15[2\gamma + i\varepsilon + \gamma(\gamma + i\varepsilon)]}}, \quad z_0 = 1 - i \frac{1 + \gamma + i\varepsilon}{\varepsilon},$$

$$\eta_1 = \sqrt{-i \frac{\varepsilon}{3} (1 + \gamma + i\varepsilon)}, \quad \lambda_\infty = \frac{2\gamma + i\varepsilon + \gamma(\gamma + i\varepsilon)}{(1 + \gamma + i\varepsilon)^2}.$$

Оценим величину  $z_0/\eta_0$  при  $\gamma = 0$  и  $\varepsilon \rightarrow 0$

$$\frac{z_0}{\eta_0} = (1 - i) \frac{\sqrt{2.5}}{\sqrt{\varepsilon}}, \quad \gamma = 0, \quad \varepsilon \rightarrow 0.$$

Из выражения (18) для непрерывного спектра с учетом асимптотики для  $z_0$  видно, что соответствующая часть электрического поля имеет декремент убывания по  $x$ , пропорциональный  $\varepsilon^{-1}$ . Из выражения (17) для дискретного спектра с учетом асимптотики для  $z_0/\eta_0$  видно, что соответствующая часть поля имеет декремент убывания, пропорциональный  $(\sqrt{\varepsilon})^{-1}$ .

Это означает, что существуют два слоя  $0 \leq x \leq \varepsilon$  и  $\varepsilon \leq x \leq \sqrt{\varepsilon}$ , примыкающие к поверхности металла. В первом слое следует учитывать вклад в электрическое поле, обусловленный как непрерывным спектром, так и дискретным. Во втором слое решающий вклад в электрическое поле вносит второе слагаемое из (12) с амплитудой Дебая  $A_0$ . Второй слой при  $x \sim \sqrt{\varepsilon}$  переходит в область сплошной среды, где определяющий вклад в электрическое поле вносит первое слагаемое — амплитуда Друде.

Переходя к размерным координатам, получим, что первый слой соответствует области  $0 \leq x \leq l\varepsilon$ , а второй слой — области  $l\varepsilon \leq x \leq l\sqrt{\varepsilon}$ . Учитывая определение  $\varepsilon$ , получаем для первого слоя область  $0 \leq x \leq r_D$ , а для второго слоя — область  $r_D \leq x \leq \sqrt{lr_D}$ . Здесь  $r_D$  — дебаевский радиус экранирования поля  $r_D \sim \nu_F/\omega_p$ .

Третий слой соответствует области  $\sqrt{lr_D} \leq x \leq \infty$ . В этой области мода Дебая и волны Ван Кампена [10] затухают и доминирует объемное решение Друде, т.е. это

область, где справедлива электродинамика сплошной среды.

Интересно, что взаимное расположение и характерные размеры слоев для рассматриваемого резонансного случая существенно отличаются от низкочастотного случая, когда  $\omega \ll \omega_p$ ,  $\omega \ll \nu$ . Анализ общего выражения для поля (12) показывает, что и в этом случае первый слой имеет размер порядка  $r_D$ . Второй же слой соответствует области  $r_D \leq x \leq l$ . Таким образом, второй слой в этом случае существенно (в  $\sqrt{l/r_D}$  раз) шире, чем в резонансном случае. При этом во втором слое влияние моды Дебая в низкочастотном случае пренебрежимо мало в отличие от резонансного случая.

Особо отметим, что вклад непрерывного спектра в электрическое поле при больших  $|\eta_0|$  имеет тот же порядок в первом слое, что и дискретный спектр. При переходе из первого слоя во второй вклад непрерывного спектра становится близким к нулю. Этот факт объясняется тем обстоятельством, что интеграл из (21) начинает быстро осциллировать с ростом  $x$ , а интеграл от быстро осциллирующей функции начинает исчезать с ростом частоты осцилляций.

Покажем, что на границе плазмы при  $\eta_0 \rightarrow \infty$  вклад непрерывного спектра в структуру электрического поля эквивалентен вкладу дискретного спектра. В самом деле, при больших  $|\eta_0|$ , согласно (17),

$$e_d(x) = \frac{iy_0\eta_0^2}{z_0\lambda_2} \left[ 1 - \exp\left(-z_0 \frac{x}{\eta_0} - V(\eta_0)\right) \right]. \quad (19)$$

Учитывая, что при  $|\eta_0| \gg 1$   $V(\eta_0) = \frac{V_1}{\eta_0} + \frac{V_2}{\eta_0^2} + \dots$ , где

$$V_n = -\frac{1}{2\pi i} \int_0^1 \left[ \ln \frac{\lambda^+(\tau)}{\lambda^-(\tau)} - 2\pi i \right] \tau^{n-1} d\tau, \quad n = 1, 2, \dots,$$

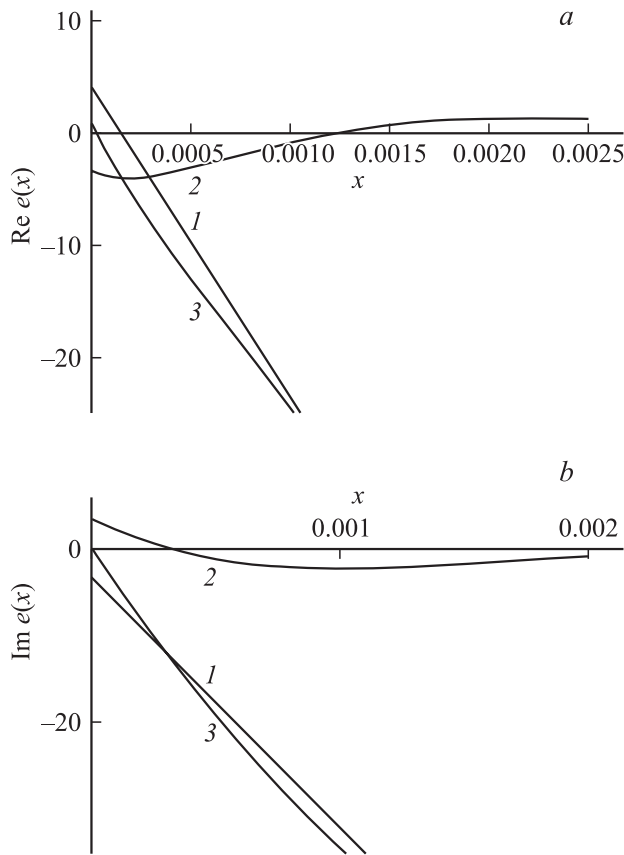
имеем

$$\exp(-V(\eta_0)) = 1 - \frac{V_1}{\eta_0} + \dots$$

Следовательно, при  $|\eta_0| \gg 1$  на границе плазмы  $e_d(0) = \frac{iy_0}{z_0\lambda_2} V_1\eta_0$ . Учитывая граничное условие на поле  $e_d(0) + e_c(0) = 1$ , получаем, что  $e_c(0) = -\frac{iy_0}{z_0\lambda_2} V_1\eta_0$  при  $|\eta_0| \gg 1$ . Таким образом, в первом слое вклады в электрическое поле дискретного и непрерывного спектров сопоставимы по величине (рис. 1). Это означает, что вклад непрерывного спектра вблизи поверхности (в первом слое) следует учитывать, так как обе величины  $e_d(0)$  и  $e_c(0)$  имеют одинаковый порядок при  $\eta_0 \rightarrow \infty$ .

Отметим, что для построения остальных графиков можно использовать формулу (17), так как вне первого слоя поведение электрического поля в основном определяется дискретным спектром.

Таким образом, вклад непрерывного спектра (волн Ван Кампена) у границы плазмы существен. Более того, обе составляющие электрического поля  $e_d(0)$  и  $e_c(0)$  на



**Рис. 1.** Электрическое поле в первом слое в случае  $\gamma = 0$ ,  $\varepsilon = 0.001$ . *a* — действительная часть поля, *b* — мнимая часть поля. Кривые 1 и 2 отвечают дискретному и непрерывному спектрам, кривая 3 — их сумма.

границы плазмы неограниченно возрастают при  $\eta_0 \rightarrow \infty$ , т.е. при  $\gamma, \varepsilon \rightarrow 0$ , при том что их сумма равна единице (в безразмерных обозначениях).

В формуле (19) входящие параметры выразим через  $\gamma$  и  $\varepsilon$ , а функцию  $\exp(-V(\eta_0))$  разложим в ряд, сходящийся в окрестности бесконечно удаленной точки,

$$V(\eta_0) = 1 - \frac{U_1}{\eta_0} + \frac{U_2}{\eta_0^2} + \dots,$$

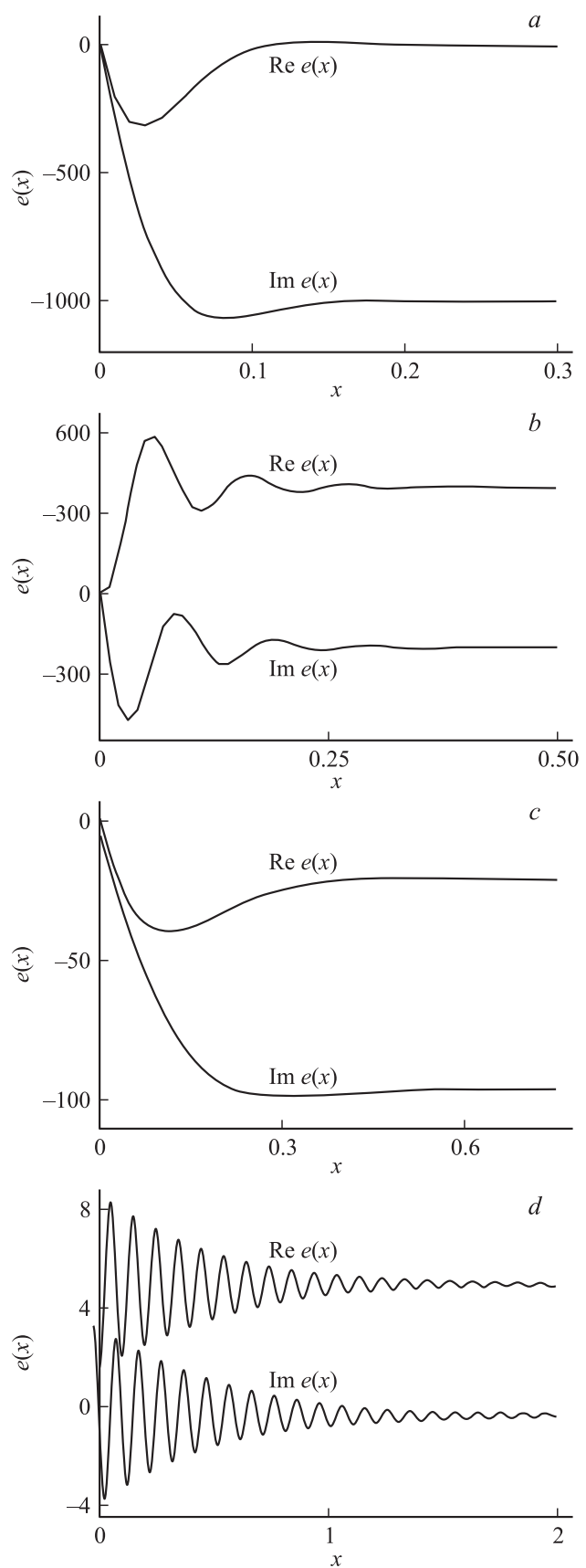
$$U_1 = 0.35714, \quad U_2 = -0.15220, \dots$$

Учитывая, что при больших  $|\eta_0|$   $D(\eta_0, \eta_1) = \eta_0$ , имеем

$$e_d(x) = \frac{1 + 3\gamma + 2i\varepsilon}{2\gamma + i\varepsilon + (\gamma + i\varepsilon)(3\gamma + i\varepsilon)} \times \left[ 1 - \left( 1 - \frac{U_1}{\eta_0} + \frac{U_2}{\eta_0^2} \right) \exp(-k_1 x) \right]. \quad (20)$$

Здесь  $\eta_0$  вычисляется по формуле, приведенной выше, а

$$k_1 = \frac{z_0}{\eta_0} = -i \frac{\sqrt{15(2\gamma + i\varepsilon)}}{3\varepsilon}.$$



**Рис. 2.** Действительная и мнимая части электрического поля. *a* —  $\gamma = 0$ ,  $\varepsilon = 0.001$ , *b* —  $\gamma = 0.001$ ,  $\varepsilon = 0.001$ , *c* —  $\gamma = -0.001$ ,  $\varepsilon = 0.01$ , *d* —  $\gamma = 0.1$ ,  $\varepsilon = 0.01$ .

На рис. 2, *a-d* приведены графики зависимости электрического поля (действительной и мнимой частей) от расстояния до поверхности раздела во второй-третьей областях. Из рисунков видно, что при положительных значениях величины  $\gamma$  наблюдается осцилляционный режим, т.е. поле осциллирует, приближаясь к асимптотическому значению при  $x \rightarrow \infty$ . Этот осцилляционный режим становится все более выраженным по мере роста величины  $\gamma$ . При  $\gamma = 0$  и  $\gamma < 0$  осцилляции не наблюдаются. При этом величина поля в объеме плазмы при малых  $\gamma$  и  $\epsilon$  значительно превышает величину поля на поверхности, что естественно для рассматриваемого резонансного случая.

Затухающая часть дискретной моды (мода Дебая) для резонансного случая  $\omega = \omega_p$ , согласно (20), может быть представлена в виде

$$e_D(x) = \frac{i}{\epsilon} \exp\left(\sqrt{\frac{5}{6\epsilon}}(i-1)x\right). \quad (21)$$

Для случая зеркального рассеяния электронов на стенке в [3] для моды Дебая (при  $\omega = \omega_p$ ) получена формула, в точности совпадающая с формулой (21), а для случая диффузного рассеяния в [3] приводится следующий результат для поля:

$$e_1(x) = 0.215(1 + i\sqrt{3})\sqrt{\frac{i}{\epsilon^3}} \exp\left[\sqrt{\frac{5}{6\epsilon}}(i-1)x\right]. \quad (22)$$

Итак, наблюдается полное согласие в поведении поля, описываемом полученной в данной работе формулой (21) и соответствующей формулой из работы [3] для случая зеркального отражения.

Из равенства (17) видно, что при любых  $\gamma$  и  $\epsilon > 0$   $\text{Re}(z_0/\eta_0) > 0$ ; иными словами, осцилляционный режим не наступает даже при  $\gamma = 0$ , т.е. при  $\omega = \omega_p$ . Это соответствует результату для газовой плазмы, полученному в работе [1].

## 5. Заключение

В настоящей работе проведен анализ поведения экранированного электрического поля в столкновительной плазме вблизи резонанса, когда частота внешнего переменного электрического поля близка к собственной частоте колебаний. Внешнее поле является поперечным — перпендикулярным поверхности, ограничивающей плазму.

Оказалось, что в плазме можно выделить три области, в которых поведение электрического поля существенно различно. К поверхности плазмы примыкает слой шириной  $0 \leq x \leq r_D$ , где  $r_D$  — дебаевский радиус экранирования. В первом слое поведение поля определяется тремя слагаемыми: модами Друде, Дебая (обе отвечают дискретному спектру задачи) и Ван Кампена (непрерывный спектр).

Второй слой имеет ширину  $r_D \leq x \leq \sqrt{lr_D}$ . В этом слое поведение поля определяется модами Друде и

Дебая, причем мода Дебая является основной характеристикой, ответственной за осцилляционный режим. В этом слое влияние волн Ван Кампена пренебрежимо мало.

Наконец, область  $\sqrt{lr_D} \leq x \leq +\infty$  называют областью сплошной среды. Определяющей поведение поля является мода Друде, которую можно найти из уравнений сплошной среды и уравнений Максвелла, не прибегая к решению кинетического уравнения.

## Список литературы

- [1] Л.Д. Ландау. Собрание трудов. Наука, М. (1969). Т. 2. С. 7–25; ЖЭТФ **26**, 576 (1946).
- [2] J.M. Keller, R. Fuchs, K.L. Kliewer. Phys. Rev. B **12**, 2012 (1976).
- [3] В.М. Гохфельд, М.А. Гулянский, М.И. Каганов, А.Г. Плявенск. ЖЭТФ **89**, 985 (1985).
- [4] А.В. Латышев, А.А. Юшканов. Поверхность. Физика. Химия. Механика. 2, 25 (1993).
- [5] А.В. Латышев, А.А. Юшканов. Журн. вычисл. математики и мат. физики **41**, 1229 (2001).
- [6] Д. Пайнс. Элементарные возбуждения в твердых телах. Мир, М. (1965). 382 с.
- [7] В.С. Владимиров, В.В. Жаринов. Уравнения математической физики. Физматлит, М. (2000). 400 с.
- [8] К.М. Case, P.F. Zweifel. Linear transport theory. Reading, Mass., Addison-Wesley (1967). [К. Кейз, П. Цвайфель. Линейная теория переноса. Мир, М. (1972). 384 с.]
- [9] И.К. Лифанов. Метод сингулярных интегральных уравнений и численный эксперимент (в математической физике, аэродинамике, теории упругости и дифракции волн). ТОО „Янус“, М. (1995). 520 с.
- [10] Б.В. Кадомцев. Коллективные явления в плазме. Наука, М. (1988). 288 с.